

УДК 620.186

**ВЛИЯНИЕ ТЕМПЕРАТУРЫ ИОННО-ПЛАЗМЕННОГО ВОЗДЕЙСТВИЯ НА ФАЗОВЫЙ
СОСТАВ АЗОТИРОВАННЫХ СЛОЕВ В АУСТЕНИТНОЙ НЕРЖАВЕЮЩЕЙ СТАЛИ**Е.А. Загибалова^{1,2}, В.А. Москвина²Научный руководитель: доцент, д.ф.-м.н. Е.Г. Астафурова², аспирант В.А. Москвина²¹Национальный исследовательский Томский политехнический университет,

Россия, г. Томск, пр. Ленина, 30, 634050

²Институт физики прочности и материаловедения СО РАН,

Россия, г. Томск, пр. Академический, 2/4, 634055

E-mail: zagibalova-lena99@mail.ru**THE EFFECT OF ION-PLASMA TREATMENT TEMPERATURE ON PHASE COMPOSITION
OF NITRIDED LAYERS IN AUSTENITIC STAINLESS STEEL**E.A. Zagibalova^{1,2}, V.A. Moskvina²Scientific Supervisors: Doctor of Sciences E.G. Astafurova², PhD student V.A. Moskvina²¹Tomsk Polytechnic University, Russia, Tomsk, Lenin str., 30²Institute of Strength Physics and Materials Science of Siberian Branch of Russian Academy of Sciences,

Russia, Tomsk, 2/4 Akademicheskii ave., 634055

E-mail: zagibalova-lena99@mail.ru

Abstract. *In this work, the effect of the temperature of ion-plasma treatment (IPT) in a mixture of nitrogen and hydrogen gases on phase composition of nitrated layers in austenitic stainless steel AISI 316L was investigated. In process of IPT at 400 ± 10 °C, a surface single-phase (S-phase) layer with a thickness of $\approx 3-4$ μm is formed. With an increase the temperature of IPT by 150 °C, the layer thickness increases up to 50–60 μm and composite structure forms, which consists of nitrogen-doped austenite Fe- γ N, chromium nitride CrN, α -Fe and residual austenite Fe- γ .*

Введение. Аустенитные нержавеющие стали (АНС) широко используются во многих областях промышленности благодаря привлекательным физико-механическим свойствам, но низкие твердость и трибологические свойства АНС могут сократить срок службы отдельных деталей конструкций и машин. Износостойкость стали может быть повышена методами инженерии поверхности (физическое или химическое осаждение покрытий из паровой фазы, плазменное напыление) или процессов диффузии (науглероживание или азотирование). Ионно-плазменное насыщение поверхностного слоя атомами внедрения (в частности, азотом) является перспективным методом модификации структуры и фазового состава поверхностных слоев АНС. Однако, если данные стали обрабатываются при температурах, обычно используемых для азотирования низколегированных сталей (около 500°C или выше), наблюдается значительное снижение коррозионной стойкости из-за выделения нитрида хрома. При использовании температур обработки ниже 500°C модифицированный поверхностный слой состоит из метастабильной фазы пересыщенного аустенита, известной как S-фаза, для которой характерны высокая твердость и коррозионная стойкость. При температурах обработки около 450°C или выше, помимо S-фазы, в поверхностных слоях присутствуют нитрид хрома CrN и α -Fe [1]. В данной работе исследовали

влияние температуры ионно-плазменного воздействия в смеси газов азота и водорода на фазовый состав азотированных слоев в аустенитной нержавеющей стали AISI 316L.

Материалы и методы исследования. Аустенитная нержавеющая сталь марки AISI 316L (Fe-17Cr-13Ni-2,7Mo-1,7Mn-0,5Si-0,01C масс. %) была выбрана для исследования. Предварительно гомогенизированные заготовки стали были прокатаны при комнатной температуре до степени осадки $\varepsilon \approx 40\%$ и отожжены в среде аргона в течение 5 ч при температуре $T=1050^\circ\text{C}$ с охлаждением в воду. Из полученных заготовок были вырезаны плоские образцы размерами $10 \times 10 \times 3$ мм. Ионно-плазменное азотирование образцов проводили при температурах $T=400 \pm 10^\circ\text{C}$ и $T=550 \pm 10^\circ\text{C}$ в течение 12 часов в среде $70\%N_2+30\%H_2$ при давлении $P=300$ Па. Ионно-плазменную обработку в тлеющем разряде образцов AISI 316L осуществляли на модернизированной установке ЭЛУ-5. Микроструктуру образцов в поперечном сечении исследовали с применением оптической микроскопии (микроскоп Altamі MET 1С). Рентгенофазовый анализ образцов до и после азотирования проводили на дифрактометре ДРОН-7 в $Co-K\alpha$ -излучении.

Экспериментальные результаты. На рисунке 1 представлены оптические изображения образцов стали AISI 316L в исходном состоянии (а) и после ИПО при 400°C (б) и 550°C (в). После термомеханической обработки образцы обладали крупнозернистой структурой со средним размером зерна $d=55 \pm 31$ мкм (рис. 1а). В процессе предварительной термомеханической обработки в заготовках не происходит фазовых превращений и образцы имеют аустенитную структуру с параметром решетки $a_{Fe-\gamma}=3,603 \pm 0,001$ нм (рис. 2). В результате ионно-плазменного насыщения, независимо от температуры, в стали формируются однородные поверхностные слои различной толщины. При температуре 400°C образуется тонкий поверхностный слой толщиной $\approx 3-4$ мкм. При повышении температуры ИПО на 150°C толщина слоя увеличивается до $50-60$ мкм.

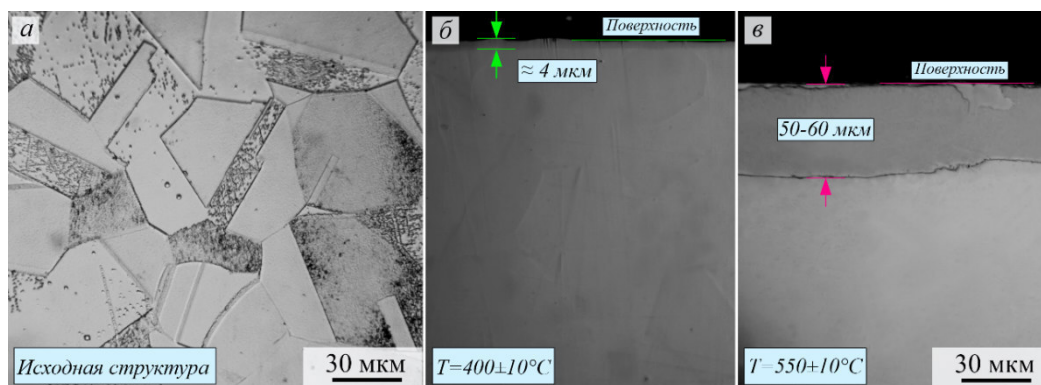


Рис. 1. Оптические изображения исходной микроструктуры (а) и микроструктуры после ИПО при $400 \pm 10^\circ\text{C}$ (б) и $550 \pm 10^\circ\text{C}$ (в), полученной в поперечном сечении образцов

На рисунке 2 представлены рентгенограммы для стальных образцов AISI 316L в исходном состоянии и после ИПО в зависимости от температуры обработки. Рентгенофазовый анализ свидетельствует о том, что ионно-плазменная обработка при температуре 400°C приводит к образованию в поверхностном слое пересыщенного однофазного твердого раствора азота в аустените – S-фазы с ГЦК кристаллической решеткой. S-фаза имеет характерные взаимные смещения рентгеновских линий, что происходит за счет микронапряжений и дефектов упаковки, вызванных растворением большого количества азота в аустенитной структуре. Также из-за изменения параметра решетки аустенита при ИПО происходит

снижение интенсивности, уширение и смещение пиков легированного атомами азота аустенита по отношению к исходным положениям аустенитных пиков. Параметр кристаллической решетки для S-фазы увеличивается по сравнению с данными для исходной аустенитной фазы и составляет $a_S=4,683\pm 0,059$ нм. Фазовый состав поверхностного слоя, полученный при 550°C , включает легированный азотом аустенит $\text{Fe-}\gamma_N$ ($a_{\text{Fe-}\gamma_N}=3,642\pm 0,067$ нм), нитрид хрома CrN ($a_{\text{CrN}}=4,154\pm 0,101$ нм), ОЦК-железо $\alpha\text{-Fe}$ ($a_{\text{Fe-}\alpha}=2,842\pm 0,079$ нм) и малую долю остаточного аустенита $\text{Fe-}\gamma$ ($a_{\text{Fe-}\gamma}=3,606\pm 0,003$ нм).

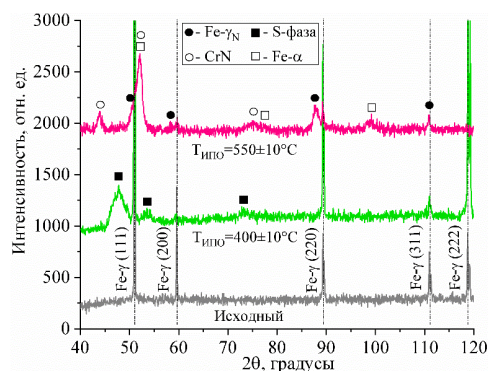


Рис. 2. Рентгенограммы для образцов стали AISI 316L до и после ИПО при температурах 400°C и 550°C

Несмотря на то, что при температуре 400°C образуется однофазная структура аустенита с высоким количеством атомов внедрения, полученный слой очень тонкий (до 4 мкм). При повышении температуры ИПО на 150°C при одинаковом времени обработки толщина азотированного слоя увеличивается в десятки раз, что связано с повышением коэффициента диффузии азота в структуре стали при повышении температуры [2]. При этом пересыщенная азотом аустенитная фаза претерпевает распад, в результате которого формируется композиционный слой сложного состава. Эти данные подтверждают результаты работы [1] о том, что при повышении температуры ионного азотирования до 450°C и выше, помимо S-фазы, в структуре аустенитной нержавеющей стали формируются фазы CrN и $\alpha\text{-Fe}$.

Заключение. При ИПО при температуре 400°C образуется тонкий поверхностный однофазный слой толщиной $\approx 3\text{--}4$ мкм, состоящий из S-фазы. При повышении температуры ИПО на 150°C значительно увеличивается толщина слоя до $50\text{--}60$ мкм, однако, образуется гетерофазная структура, состоящая из легированного азотом аустенита $\text{Fe-}\gamma_N$, нитрида хрома CrN и ОЦК-железа $\alpha\text{-Fe}$ и остаточного аустенита $\text{Fe-}\gamma$.

Исследование выполнено при финансовой поддержке РФФИ в рамках проекта 20-38-70031. Авторы благодарны д.т.н. Рамазанову К.Н. за помощь с ионно-плазменной обработкой образцов.

СПИСОК ЛИТЕРАТУРЫ

1. Borgioli F., Fossati A., Galvanetto E., Bacci T. Glow-discharge nitriding of AISI 316L austenitic stainless steel: influence of treatment temperature // Surface and Coatings Technology. – 2005. – Vol. 200. – P. 2474–2480.
2. Бокштейн Б.С. Диффузия в металлах. – М.: Металлургия, 1978. – 248 с.